

# The Power of Two Choices in Bike-sharing Systems

Ch. Fricker, P. Santini Dester

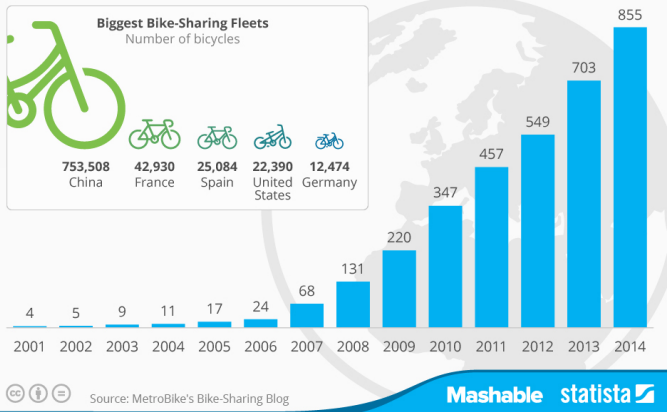
July 11, 2016



- Motivation
- Études théoriques
- Simulations avec les données Vélib'
- Conclusion

## Bike-Sharing Is Taking Off Around the World

Number of cities worldwide that offer bike-sharing systems (as of December 31, 2014)



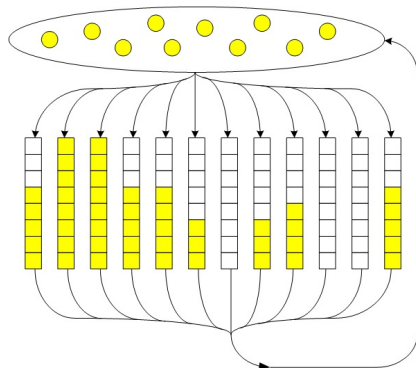
# Stations Problématiques

Le besoin de modéliser et comprendre le comportement de ces systèmes



# Les politiques de Choix

- Sans choix  
[Fricker, Gast, 2014]
- Choix parmi deux stations aléatoires  
[Fricker, Gast, 2014]
- Choix parmi deux stations voisines
- Choix local dans groupes de deux stations

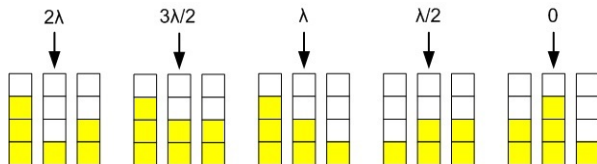


# Files d'attente avec une fonction de choix quelconque

Soit,

- $N$  le nombre de files d'attente dans le système
- $n \in \mathbb{N}^N$  l'état du système
- $c : \mathbb{N} \times \mathbb{N}^N \longrightarrow [0, N]$  la fonction de choix
- $\lambda c_i(n)$  le taux d'arrivée de clients dans la file  $i$
- $\mu$  le taux de service
- $\rho = \lambda/\mu$

Exemple :  $c_i(n) = \frac{1}{2} \mathbb{1}_{\{n_i = n_{i-1}\}} + \mathbb{1}_{\{n_i < n_{i-1}\}} + \frac{1}{2} \mathbb{1}_{\{n_i = n_{i+1}\}} + \mathbb{1}_{\{n_i < n_{i+1}\}}$



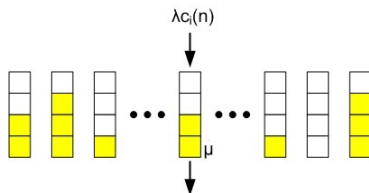
# Files d'attente avec une fonction de choix quelconque

On a un processus de Markov dans  $\mathbb{N}^N$ , irréductible et défini par

Matrice de saut

$$Q(n, n + e_i) = \lambda c_i(n)$$

$$Q(n, n - e_i) = \mu \mathbb{1}_{\{n_i > 0\}}$$



Pour la mesure invariante du système  $(y_n(\rho))_{n \in \mathbb{N}^N}$ ,  
(conditions d'ergodicité)  
supposons qu'il existe  $\varepsilon > 0$ , tel que pour  $N$  fixé,

$$y_n(\rho) = \sum_{k \geq 0} \alpha_k(n) \rho^k, \quad \forall \rho \in [0, \varepsilon[, \forall n \in \mathbb{N}^N.$$

## Lemma 2

$$\alpha_k(n) = 0, \forall n \in \mathbb{N}^N \mid |n| > k.$$

Ce lemme permet de développer un algorithme pour trouver les coefficients  $\alpha_k(n)$  de l'expansion.



On s'intéresse à la probabilité dans le régime stationnaire, d'une file avoir  $m$  clients.

Cela est donnée par la loi marginale

$$\pi_m(\rho) = \sum_{n \in \mathbb{N}^N | n_1 = m} y_n(\rho).$$

Pour la politique de *choix local*, quel est le comportement de la marginal?

## Proposition 4

*Pour  $N$  fixé,  $c$  la fonction de choix local et  $m \geq 2$ , la probabilité d'avoir  $m$  clients à une file est donnée par*

$$\pi_m(\rho) = 12 \left(\frac{\rho}{2}\right)^{2m-1} + \mathcal{O}(\rho^{2m}),$$

*pour  $\rho$  qui tend vers zéro.*

*Idée de la preuve :*

- Équations de récurrence pour  $\alpha_k(n)$
- Lemme 2 ( $\alpha_k(n) = 0, |n| > k$ )
- Trouver toutes les dépendances qui sont nulles (en séparant  $k$  pair,  $k$  impair)
- Résoudre les équations de récurrence

Choix local :  $c_i(n) = a(n_i, n_{i-1}) + a(n_i, n_{i+1})$

Pour  $N$  fixé, la probabilité (stationnaire) d'avoir  $m$  clients dans une file

Politique de choix	$\pi_m$
Sans choix	$\sim \rho^m$
Choix parmi deux files voisines	$\sim (\rho/2)^{2m-1}$
Choix parmi deux files au hasard	$\sim \rho^{2^m-1}$

pour  $\rho$  qui tend vers zéro.

Choix local :  $c_i(n) = a(n_i, n_{i-1}) + a(n_i, n_{i+1})$

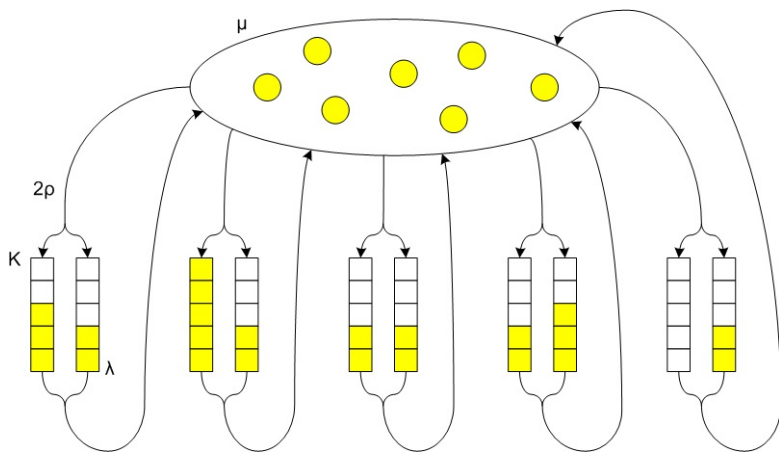
Les principales problèmes de cette analyse à faible trafic :

- Le point optimal des réseaux de partage de vélo est autour de  $\rho = 1$
- L'effet de la capacité est masqué

⇒ **Un autre modèle** pour étudier l'effet du choix dans un réseau de partage de vélos.

- Techniques de champ moyen,  $N \rightarrow \infty$ .

# Système de partage de vélos avec choix local en groupes de deux stations

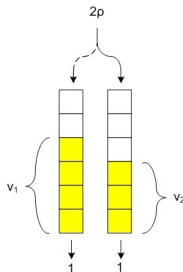


# Étude JSQ dans le système à deux files de capacité finie

Le système typique : deux files de capacité finie (JSQ).

Soit

- $K$  la capacité de chaque file d'attente
- $v = (v_1, v_2) \in \mathbb{N}^2 \mid 0 \leq v_2 \leq v_1 \leq K$ , l'état du système
- $2\rho$  le taux d'arrivée de clients dans la file moins chargée
- 1 le taux de service



# Étude JSQ dans le système à deux files de capacité finie

On a un processus de Markov dans  $\mathbb{N}^2 \cap [0, K]^2$ , irréductible et défini par

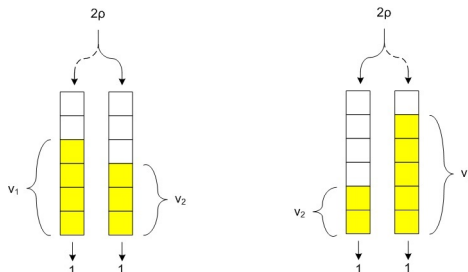
## Matrice de saut

$$Q(v, v + e_1) = 2\rho \mathbb{1}_{\{v_1=v_2\}} \mathbb{1}_{\{v_1 < K\}}$$

$$Q(v, v + e_2) = 2\rho \mathbb{1}_{\{v_2 < v_1\}}$$

$$Q(v, v - e_1) = \mathbb{1}_{\{v_1 > 0\}} (1 - \mathbb{1}_{\{v_1=v_2\}})$$

$$Q(v, v - e_2) = \mathbb{1}_{\{v_2 > 0\}} (1 + \mathbb{1}_{\{v_2=v_1\}})$$



# Étude JSQ dans le système à deux files de capacité finie

Cas connu : capacité infinie [Flatto, Mac Kean, 1977]

## Lemma 3

*La probabilité invariante de blocage est*

$$\pi(K, K) = \frac{(1 - \rho)(2 - \rho)}{(1 - \rho)(2\rho)^{-K} + \rho^{-2K} - \rho(2 - \rho)}$$

*Idée de la preuve :* La fonction génératrice associée à la mesure invariante est donnée par  $G(x, y) = \frac{P(x, y)}{Q(x, y)}$ , où  $P$  et  $Q$  sont polynômes à deux variables.

On utilise le fait que  $P(x, y)$  est nulle quand  $Q(x, y)$  est nulle pour trouver une relation du type  $P(\gamma(y), y) = 0$ . En évaluant cette équation pour diverses valeurs de  $y$ , on peut trouver un système d'équations et le résoudre pour  $\pi(K, K)$ .



## Proposition 6

*Le nombre moyen de clients  $\bar{n}$  dans une file d'attente peut être borné par les inégalités suivantes.*

$$\bar{n} \leq \frac{\rho}{2(1-\rho)} \left( 1 - \left( 2K + 1 - \frac{(1+\rho^2)(\rho^{-2K} - (1+\rho^2)^{-K})}{1+\rho} \right) \pi(K, K) \right),$$

*pour  $\rho \in \mathbb{R}_+$ .*

$$\bar{n} = \frac{4K^2 + 2K + 1 - 2^{-K}}{8K + 2^{-K+2}}, \quad \text{pour } \rho = 1.$$

$$\bar{n} \geq \frac{\rho}{1-\rho^2} \left( 1 - \frac{1}{2}(2K(1+\rho) + 1)\pi(K, K) \right), \quad \text{pour } \rho < 1.$$

$$\bar{n} \geq \frac{\rho}{2(\rho-1)} \left( 2K + 1 - \frac{\rho(1+\rho^2)}{(1+\rho)(1+2\rho)} \right) \pi(K, K) - \frac{\rho(\rho^2 + 2\rho + 2)}{2(\rho-1)(1+2\rho)},$$

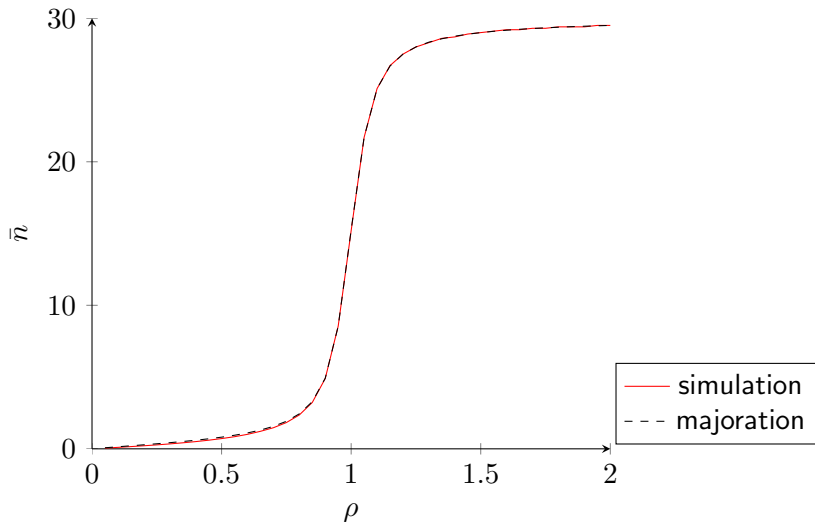
*pour  $\rho > 1$ .*

*Idée de la preuve* : Comme la dernière preuve, on utilise  $P(\gamma(y), y) = 0$  en quelques points et on utilise des majorations et minoration du type

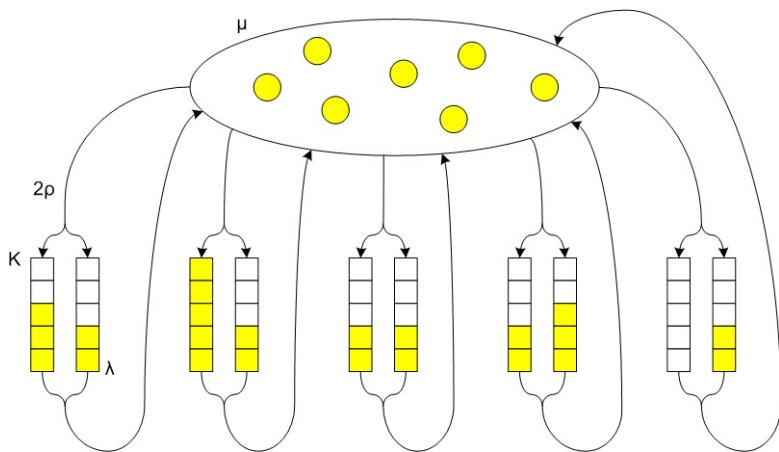
$$1 \leq \frac{1 + \rho}{1 + \rho^2} \leq \frac{1}{\rho}.$$

# Étude JSQ dans le système à deux files de capacité finie

$\bar{n}$ : simulation versus la majoration for  $K = 30$ .



# Système de partage de vélos avec choix local en groupes de deux stations



# Système de partage de vélos avec choix local en groupes de deux stations

Soit (dans le régime permanent)

- $\bar{n}$  le nombre moyen de vélos dans une station
- $\frac{M}{N} = s$ , nombre total de vélos par station
- $\rho = \frac{\mu}{\lambda}(s - \bar{n})$  la relation entre le taux d'arrivée (par station) et de trajets des vélos

# Système de partage de vélos avec choix local en groupes de deux stations

En faisant  $N \rightarrow \infty$ , on peut utiliser la technique de champ moyen, qui est bien développée dans [Fricker, Gast, 2014].

Dans le régime permanent, on arrive aux mêmes equations de récurrence que le système JSQ à deux files de capacité finie.

Sauf que maintenant, on a une relation de plus

$$s = \bar{n}(\rho) + \frac{\lambda}{\mu}\rho.$$

Proportion de stations problématiques?

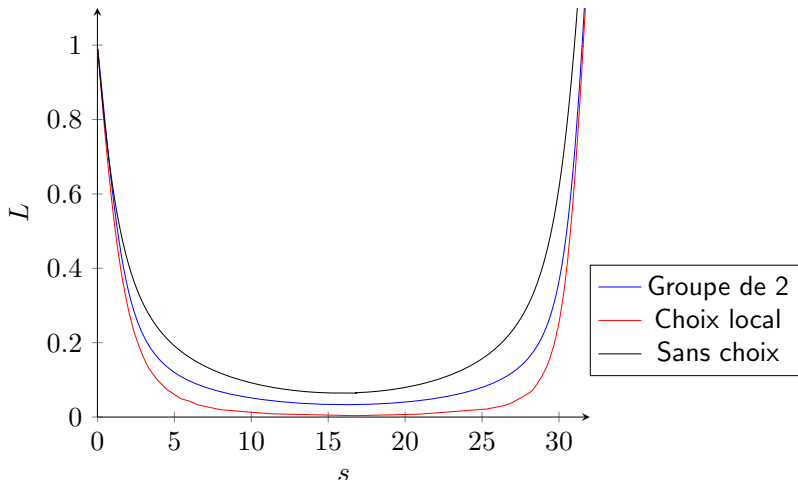
La métrique proposée est le **taux d'insatisfaction** des utilisateurs

$$\begin{aligned} L &= p_0 + (1 - p_0)(1 - p_K) \sum_{m \geq 1} m p_K^m \\ &= p_0 + \frac{p_K(1 - p_0)}{1 - p_K} \\ &= p_0 + \rho p_K \\ &= 1 - \rho(1 - 2p_K). \end{aligned}$$

Dans notre cas, on a  $p_K = \pi(K, K)$ , donnée par le Lemme 3.

# La métrique de performance sur les systèmes de partage de vélos

Courbe paramétrée de  $\rho \mapsto (s(\rho), L(\rho))$ , pour  $K = 30$  et  $\lambda/\mu = 1$ .





# Système de partage de vélos avec choix local en groupes de deux stations

## Proposition 8

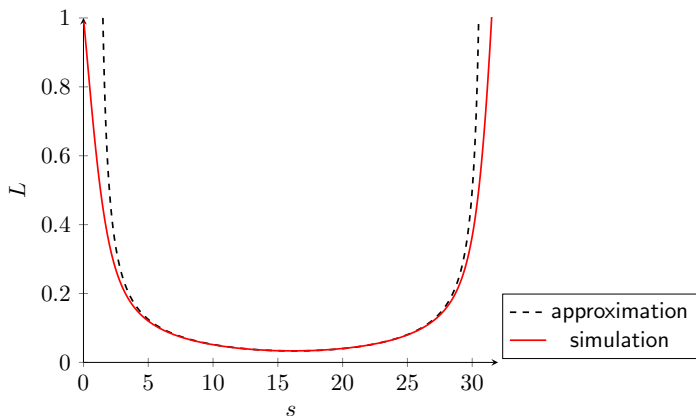
Soit  $\psi \in \mathbb{R}$  et  $\rho = 1 + \frac{\psi}{K}$ , alors

$$L = \frac{\psi}{K} \coth(\psi) + \mathcal{O}\left(\frac{1}{K^2}\right)$$

$$s = \frac{K}{2}(1 + \coth(\psi) - \psi^{-1}) + \frac{\psi^2}{4} \operatorname{csch}^2(\psi) + \frac{\mu}{\lambda} + \mathcal{O}\left(\frac{1}{K}\right),$$

pour  $K$  qui tend vers l'infini.

Implicit plot of  $L$  and  $s$  for the policy choice in a group of two, for  $K = 30$ .



**Figure :** Dans cette courbe,  $\psi$  prend des valeurs entre  $-K$  et  $K$ . L'approximation de la Proposition 8 est fiable dans la région intéressante, qui est la région optimale.

# Système de partage de vélos avec choix local en groupes de deux stations

Pour  $K$  suffisamment grand, si

$$\frac{1}{3}K + \frac{1}{5} \leq s - \frac{\mu}{\lambda} \leq \frac{2}{3}K + \frac{1}{6},$$

alors,

$$\frac{1}{K} \leq L \leq \frac{7}{5K}.$$

Cela nous donne une bonne idée de la région dans laquelle  $s$  doit appartenir pour avoir  $L$  optimal.

# Simulation de choix local avec les données Vélib'

À cause de problèmes de pertinence dans les données Vélib', on a changé de métrique pour mesurer la performance du système.

Alors, on propose la métrique suivante

$$P = \sqrt{\sum_{i=1}^N \left( \frac{b_i - b_i^*}{K_i - b_i^*} \right)^2},$$

$K_i$  la capacité de la station  $i$

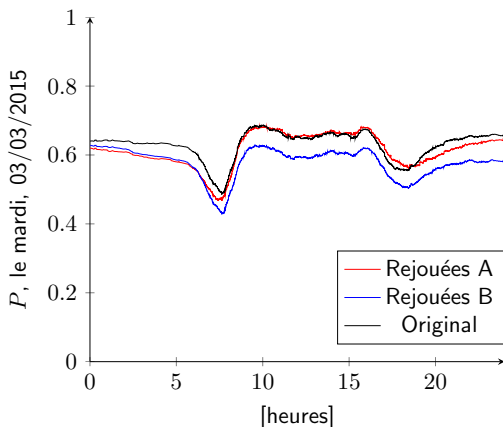
$b_i$  le nombre de vélos dans la station  $i$

$b_i^* = n_s K_i / \sum_{j=1}^N K_j$ .

# Simulation de choix local avec les données Vélib'

Politiques de choix, dans un rayon de 300m,

- A : choisir la station avec le plus de places libres
- B : choisir la station avec le plus de places libres par rapport à la capacité



- Algorithme pour l'expansion avec une fonction de choix général
- $N$  files avec choix parmi deux voisins
- Probabilité de blocage dans JSQ à deux files
- Système de partages de vélos avec choix dans groupes de deux voisins
- Données Vélib' : choix de la moins chargée = discutable
  
- Etude du *pair approximation*
- Modèles *in-between choix local* et *choix dans groupe de deux*
- JSQ entre deux files  $M/M/K/K$ , application au *cloud*



<http://www.statista.com/chart/3325/bike-sharing-systems-worldwide/>  
accessed 07/07/2015.



L. FLATTO, H. P. McKEAN. (1977)

Two Queues in Parallel.

*Communications on pure and applied mathematics, Vol. XXX, p.255-263.*



C. FRICKER, N. GAST. (2014)

Incentives and Redistribution in Homogeneous Bike-sharing Systems with Stations of Finite Capacity.

*European Journal on Transportation and Logistics.*